



پیش‌بینی عملکرد چرخ‌نده‌های مارپیچ تحت رژیم روان‌کاری مخلوط

ابوالفضل ابراهیمی سرست^۱، صالح اکبرزاده^{۲}

^۱- کارشناس ارشد، مهندسی مکانیک، دانشگاه صنعتی اصفهان، اصفهان

^۲- استادیار، مهندسی مکانیک، دانشگاه صنعتی اصفهان، اصفهان

s.akbarzadeh@cc.iut.ac.ir، 8415683111 *اصفهان، صندوق پستی

چکیده

چرخ‌نده‌ها یکی از اجزای بسیار مهم در سیستم‌های انتقال قدرت می‌باشند. از بین انواع چرخ‌نده‌ها، چرخ‌نده‌های مارپیچ به علت ظرفیت بالای انتقال توان و سروصدای کمتر بیشتر مورد استفاده قرار می‌گیرند. هدف از این تحقیق، ارائه مدلی برای تحلیل درگیری یک دندانه چرخ‌نده مارپیچ با لحاظ نمودن اثرات دما و زبری سطح است. در مدل حاضر هر چرخ‌نده مارپیچ از تعداد محدودی چرخ‌نده ساده‌ی باریک تشکیل شده که هر یک نسبت به قبلي به میزان زاویه کوچکی دوران داشته است. همچنین از جایگزینی دو اسوانه معادل به جای هر نقطه از تماس دو چرخ‌نده استفاده شده است. با توجه به این که رژیم حاکم بر روان‌کاری چرخ‌نده‌ها رژیم الاستوهدرودینامیک مخلوط است، بار کلی وارد شده بر دندانه، بین روان‌کار و زبری‌ها تقسیم شده است. تحلیل درگیری و روان‌کاری دو چرخ‌نده مارپیچ بر اساس روش تقسیم بار انجام شده است و مشخصه‌های عملکردی مانند خشامت لایه روغن، ضربی اصطکاک و افزایش دمای روغن پیش‌بینی شده است. نتایج حاصل از روش تقسیم بار با نتایج سایر روش‌ها مقایسه شده است. دقت قابل قبول و زمان اجرای کوتاه از ویژگی‌های مطالعه‌ی پیش‌رو است.

اطلاعات مقاله

مقاله پژوهشی کامل

دریافت: ۳۰ مرداد ۱۳۹۲

پذیرش: ۱۵ مهر ۱۳۹۲

ارائه در سایت: ۰۶ مهر ۱۳۹۳

کلید واژگان:

چرخ‌نده مارپیچ

روان‌کاری

زبری سطح

ضریب اصطکاک

ضخامت فیلم روان‌کار

Prediction of Performance of Helical Gears under Mixed- Lubrication Regime

Abolfazl Ebrahimi Serest¹, Saleh Akbarzadeh^{2*}

۱- Department of Mechanical Engineering, Isfahan University of Technology, Isfahan, Iran.

۲- Department of Mechanical Engineering, Isfahan University of Technology, Isfahan, Iran

*P.O.B. 8415683111 Isfahan, s.akbarzadeh@cc.iut.ac.ir

ARTICLE INFORMATION

Original Research Paper

Received 21 August 2013

Accepted 07 October 2014

Available Online 28 September 2014

Keywords:

Helical gear

Lubrication

Surface roughness

Friction coefficient

Film thickness of lubricant

ABSTRACT

Gears are one of the most important elements of any power transmission system. Among all types of gears, helical gears are more common due to their high capacity in power transmission as well as lower level of noise. The aim of this study is to present a model for analyzing the contact of teeth of helical gears considering thermal effects and surface roughness. In the present model, each helical gear is divided to several narrow spur gears in which each of the spur gears have a small rotation angle relative to the previous one. Also each contact point of gears is replaced with contact of two equivalent cylinders. Considering the fact that the governing regime for gears lubrication is the mixed-elastohydrodynamic regime, the total load of a tooth is carried by lubricant and asperities' contact. Meshing and lubrication analysis of a pair of helical gears is conducted based on the load-sharing concept and parameters such as film thickness, friction coefficient and temperature rise are predicted. The predictions based on the load-sharing concept are compared to other published results Acceptable accuracy, short execution time along with considering thermal and roughness effects are some of the major characteristics of this study.

۱- مقدمه

چرخ‌نده‌ها را می‌توان از اصلی ترین ابزار انتقال توان دانست که با توجه به حجم وسیع کاربردش، امروزه دارای تنوع و محاسبات پیچیده زیادی در طراحی‌اش است. مسلمًا شناخت و آگاهی کامل از شکل هندسی، روابط سینماتیکی، تحلیل نیروها و بررسی عملکرد انواع چرخ‌نده‌ها برای طراحی و ساخت یک قطعه صنعتی امری اختناب‌ناپذیر است. بحث تراپیولوزی در چرخ‌نده‌ها، که به بررسی سایش اصطکاک و روان‌کاری می‌پردازد، بیش از یک قرن است که مورد توجه و علاقه محققین این حوزه بوده است [۱].

Please cite this article using:

A. Ebrahimi Serest, S. Akbarzadeh, Prediction of Performance of Helical Gears under Mixed- Lubrication Regime, *Modares Mechanical Engineering*, Vol. 14, No. 10, pp. 167-176, 2014 (In Persian)

برای ارجاع به این مقاله از عبارت ذیل استفاده نمایید:

A. Ebrahimi Serest, S. Akbarzadeh, Prediction of Performance of Helical Gears under Mixed- Lubrication Regime, *Modares Mechanical Engineering*, Vol. 14, No. 10, pp. 167-176,

ایجادشده در زیری‌ها بر اساس بار اعمال شده و ارتفاعشان به سه حالت الاستیک، الاستیک-پلاستیک و پلاستیک تقسیم می‌شوند و در نهایت نیروی اصطکاک ایجادشده بر اثر فیلم روان کار و تماس زیری‌ها محاسبه می‌شود. با استفاده از مدل حاضر می‌توان پارامترهایی مانند ضریب اصطکاک در هر نقطه از تماس و همچنین میزان بار تحمل شده توسط زیری‌ها را تعیین کرد.

2- مدل سازی

2-1- تحلیل هندسی چرخ‌دنده‌های مارپیچ

چرخ‌دنده مارپیچ از نظر ظاهری شبیه چرخ‌دنده ساده است. اما در تحلیل ریزی‌هاش تفاوت‌های زیادی را می‌توان بین این دو نوع چرخ‌دنده مشاهده نمود که موجب پیچیدگی قابل توجهی در تحلیل خواهد شد. در شکل ۱ موقعیت‌های خط تماس در طول سیکل درگیری یک دندانه این دو نوع چرخ‌دنده نشان داده شده است. خط تماس در چرخ‌دنده ساده موازی با محور چرخ‌دنده در طول درگیری ثابت است در حالی که در چرخ‌دنده مارپیچ، خط تماس زاویه‌ای برابر با زاویه مارپیچ با محور می‌سازد و در طول درگیری متغیر است.

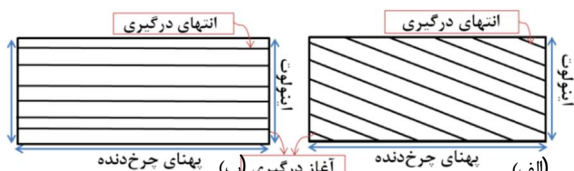
در چرخ‌دنده مارپیچ برای تعیین موقعیت نقطه تماس (c) در هر لحظه می‌بایست دو متغیر را تعریف کرد که در این مدل از دو متغیر بی‌بعد ξ و ρ استفاده می‌شود [13]. مفهوم فیزیکی متغیر اول، نسبت شعاع انحنای در نقطه تماس به گام مبنای دایره‌ای است. متغیر دوم (ξ)، موقعیت نسبی بینیون و چرخ‌دنده درگیر با هم را نشان دهد. برای محاسبه ξ از معادله (1) استفاده می‌شود [13].

$$\xi = \frac{Z}{2\pi} \sqrt{\frac{r_c^2}{r_b^2} - 1} \quad (1)$$

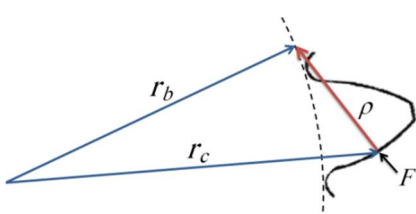
که Z تعداد دندانه‌ها، r_c فاصله مرکز چرخ‌دنده تا نقطه تماس c و r_b شعاع مبنای است که در شکل 2 نشان داده شده‌اند. شعاع انحنای نقطه تماس بر روی اینولوت دندانه هم با استفاده از معادله (1) و شکل 2، توسط معادله (2) محاسبه می‌شود:

$$\rho = \sqrt{r_c^2 - r_b^2} = r_b \sqrt{\frac{2\pi}{Z}} \quad (2)$$

در مدل حاضر سیکل درگیری یک دندانه از ورود به درگیری تا خروج آن از درگیری مورد بررسی قرار خواهد گرفت. ابتدا باستی مجموع طول خطوط



شکل ۱ تغییر خط تماس در طول درگیری یک دندانه چرخ‌دنده مارپیچ (الف) و ساده (ب)



شکل ۲ موقعیت یک نقطه تماس بر اینولوت دندانه

چرخ‌دنده‌های مارپیچ، معمولاً چرخ‌دنده مارپیچ به چندین چرخ‌دنده ساده بازیک که بر یک محور سوار شده‌اند و هر یک منحصرآزاویه کوچکی حول محور مشترک چرخیده‌اند، تقسیم می‌شود. این روش توسط هایزن و اولرتون [2] معرفی شده است و تنها زمانی اعتبار دارد که منطقه تماس در مسیر غلتش، بازیک باشد [3]. هدلند و لتوارا [4] در سال 2007، مطالعه‌ای روی مدل سازی تماس چرخ‌دنده مارپیچ با در نظر گرفتن تغییر شکل دندانه انجام دادند و توزیع نیروی تماسی دندانه در طول درگیری را به دست آوردند.

بعد از انجام تحلیل درگیری دو چرخ‌دنده مارپیچ، مسئله بعدی تعیین ضخامت فیلم و ضریب اصطکاک برای هر نقطه در طول خط تماس است. ریزیم حاکم بر روانکاری در چرخ‌دنده‌ها به صورت روان‌کاری مخلوط است [5]. در این حالت لایه نازکی از روان‌کاری بین دو سطح تشکیل می‌شود اما تماس بین زیری‌های سطح نیز وجود دارد. البته این میزان تماس کمتر از حدی است که ریزیم روان‌کاری، ریزیم مزدی شود. روش حل این مسئله در اغلب مقالات موجود توسط حل همزمان دستگاه معادلات دیفرانسیل با مشتق‌ات پاره‌ای شامل معادله تعادل بار، معادله رینولدز و معادله تغییر شکل الاستیک سطح است. الگوریتم‌های حل این روش اغلب زمان بر و انجام دادنشان طاقت‌فرسا است. تعدادی از مطالعات تجربی در این حوزه، توجه خود را معطوف به محاسبه ضریب اصطکاک کرده‌اند که اغلب آن‌ها از دیسک‌های تحت شرایط مشابه با یک زوج چرخ‌دنده استفاده کرده‌اند [6]. آن‌ها با استفاده از نتایج‌شان، فرمول‌های تجربی برای محاسبه ضریب اصطکاک ارائه نمودند. در ادامه محققین مدل‌هایی با دقت بالاتر از فرمول‌های تجربی ارائه دادند اما همچنان دقت این مدل‌ها کاملاً وابسته به دقت معادلات تجربی اولیه ضریب اصطکاک است که در مدل‌شان به کار برده شده است [7]. این معادلات تجربی ضریب اصطکاک، عمومی نیستند و اغلب برای برخی از محدوده شرایط کاری و هندسی کاربرد دارند.

در بعضی از مقاله‌های ارائه شده، برای تعیین ضخامت فیلم روان‌کار در طول خط گام تماس چرخ‌دنده مارپیچ از رابطه داوسون و هیگینسون [8] استفاده شده است [9]. این رابطه در واقع یک منحنی برازش شده برای بیان ضخامت فیلم بر حسب مشخصات هندسی، سرعت، بار و مشخصات روغن و برای سطوح صیقلی است. فلاپین و اندرسون [10] سایش در چرخ‌دنده‌های مارپیچ را بدون تحلیل جزئیات روان‌کاری مطالعه کردند. کروز و همکاران [11] در سال 2011، تحلیل روان‌کاری در چرخ‌دنده مارپیچ را با در نظر گرفتن فرض‌های دقیق مانند تحلیل زیری و دمایی ارائه دادند. آن‌ها نشان دادند که ضخامت لایه روان‌کار، معمولاً برای جدا کردن دو سطح تماس چرخ‌دنده از هم کافی نیست. تحت این شرایط هر دو نیروی برشی فیلم روان‌کار و تماس زیری در تولید اصطکاک شرکت داشتند. اما زمان لازم برای پاسخ‌گویی مدل آن‌ها طولانی بود. جانسون و همکارانش [12] روش تقسیم برای برای ریزیم روان‌کار مخلوط معرفی کردند که اکبرزاده و خوانساری [5] از این روش برای تحلیل هم دمای چرخ‌دنده ساده استفاده کردند.

هدف از این تحقیق، ارائه مدلی برای تحلیل روان‌کاری چرخ‌دنده مارپیچ بر اساس روش تقسیم بار است. در این مدل، ابتدا چرخ‌دنده مارپیچ به تعداد زیادی چرخ‌دنده ساده بازیک بر شد زده می‌شود. سپس هر یک از نقاط تماس دو چرخ‌دنده با دو استوانه معادل جایگزین می‌شوند. با توجه به فرض تماس بازیک هرتزین، تحلیل روان‌کاری بر روی این استوانه‌های جایگزین انجام خواهد شد. تحلیل روان‌کاری بر اساس روش تقسیم بار جانسون [12] انجام می‌شود و در آن ضخامت فیلم روان‌کار تعیین می‌شود. تغییر شکل‌های

باریک، طبق رابطه (7) برابر است با [13]:

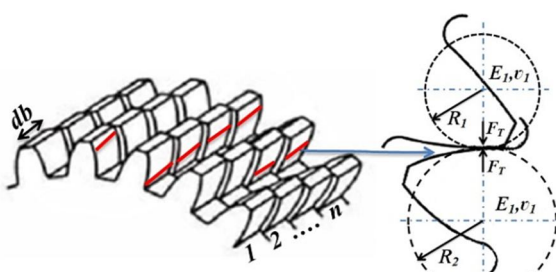
$$dl = b \frac{(\xi_{\max} - \xi_{\min})}{(n-1) \times (\epsilon_\beta \times \cos \psi_b)} \quad (7)$$

که ξ_{\min} و ξ_{\max} مقادیر پارامتر اینولوت داخلی و بیرونی نقطه تماس پینیون هستند. مسئله‌ای که اکنون باید بررسی شود، این است که در هر لحظه از درگیری، کدامیک از چرخ‌دنده‌های ساده‌ی باریک در تماس هستند. به عنوان مثال اگر چرخ‌دنده مارپیچ به ۷ چرخ‌دنده ساده برش زده شود (شکل 3)، ابتدا باید بررسی کرد که خط تماس دندانه‌ی مورد نظر در این لحظه از درگیری، کدامیک از چرخ‌دنده‌های ساده را شامل می‌شود. خط تماس کامل بر روی یک دندانه، مشابه لحظه درگیری شکل 3 است که طول خط تماس بر روی دندانه وسط به بیش‌ترین مقدار خود رسیده است و کل اینولوت دندانه را شامل می‌شود. همان‌طور که در شکل 3 نشان داده شده است، برای هر نقطه بر روی پروفیل اینولوت چرخ‌دنده ساده، تماس دو چرخ‌دنده با تماس دو استوانه جایگزین می‌شود. شعاع این استوانه‌ها، برابر شعاع انحنای پروفیل اینولوت چرخ‌دنده و بار اعمال شده به دو استوانه نیز برابر با اعمال شده در چرخ‌دنده ساده است. مدل تحلیل روان‌کاری که در قسمت بعدی آمده است بر اساس تماس دو استوانه است.

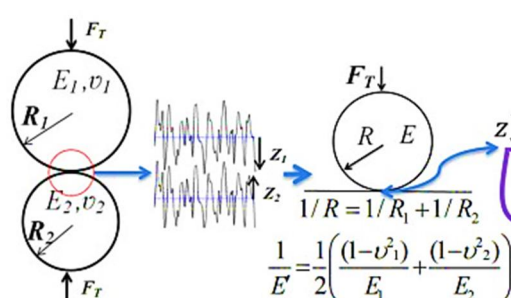
2-2- تحلیل روان‌کاری

برای انجام تحلیل روان‌کاری استوانه‌های جایگزین، ابتدا چند فرض صورت می‌گیرد. همان‌طور که در شکل 4 نشان داده شده است، تماس دو استوانه با تماس یک استوانه معادل بر روی یک سطح تخت جایگزین می‌شود. در این حالت، استوانه معادل دارای شعاع و مدول الاستیسیته معادل که در شکل 4 نشان داده شده است می‌باشد. همچنین سطح تخت دارای زبری معادل جمع زبری دو استوانه است. [14].

مسئله اساسی در روان‌کاری چرخ‌دنده‌ها، تعیین ضخامت فیلم روان‌کار و ضریب اصطکاک درگیری است. همان‌طور که گفته شد، رژیم حاکم بر روان‌کاری چرخ‌دنده‌ها عموماً رژیم روان‌کاری مخلوط است. بنابراین قسمتی



شکل 3 خطوط تماس چرخ‌دنده مارپیچ در لحظه‌ای از درگیری



شکل 4 جایگذاری تماس دو استوانه زبر با دو سطح صاف و زبر

تماس چرخ‌دنده را در هر لحظه از سیکل درگیری مشخص نمود. تابع γ معرفی شده در معادله (3)، تقریبی برایتابع انتگرال انرژی پتانسیل معکوس چرخ‌دنده است. می‌توان نشان داد که نحوه تغییرات این تابع، بیان گر نحوه تغییر طول کل خطوط تماس در طول درگیری است [13]. با توجه به این که در واقعیت سفتی دندانه در طول پهنه‌ی دندانه تغییر می‌کند، توزیع بار در راستای خط تماس غیریکنواخت خواهد بود. البته در این مدل، دندانه صلب فرض شده است و در نتیجه توزیع بار در طول خط تماس، یکنواخت است [13].

$$I_v(\xi_0) = \frac{1}{b_0} \sum_{i=0}^{E_y} \left(\sin b_0 \left[\zeta_{i,sup} - \frac{\epsilon_\alpha}{2} \right] - \sin b_0 \left[\zeta_{i,inf} - \frac{\epsilon_\alpha}{2} \right] \right) \\ b_0 = \left[\frac{1}{2} \left(1 + \frac{\epsilon_\alpha}{2} \right)^2 - 1 \right]^{-1/2} \\ \zeta_{i,sup} = \xi_0 + i + \epsilon_\alpha - \min(\xi_0 + i, 0) - \max(\xi_0 + i, \epsilon_\alpha) \\ \zeta_{i,inf} = \xi_0 + i - \epsilon_\beta + \epsilon_\alpha - \min(\xi_0 + i - \epsilon_\beta, 0) - \max(\xi_0 + i - \epsilon_\beta, \epsilon_\alpha) \quad (3)$$

که E_y بخش صحیح نسبت تماس کلی ($\epsilon_\alpha + \epsilon_\beta = E_y$) است. برای محاسبه طول مجموع خطوط تماس چرخ‌دنده در هر لحظه از سیکل درگیری (ξ_0) ام، از معادلات (3) و (4) می‌توان استفاده نمود. همچنین برای محاسبه تغییرات طول خط تماس یک دندانه در طول سیکل درگیری اش (ξ_0)، از معادله (3) استفاده می‌شود و قرار داده می‌شود.

$$L(\xi_0) = \frac{I_v \times b}{(\epsilon_\beta \times \cos \psi_b)} \quad (4)$$

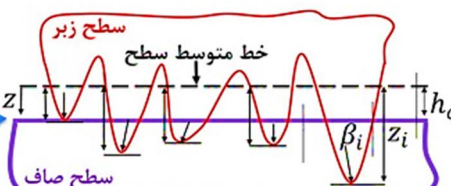
در گام بعد، با استفاده از طول خط تماس به دست آمده و با توجه به فرض توزیع بار یکنواخت در طول خط تماس، مقدار بار برابر واحد طول در موقعیت درگیری ξ_0 ، از معادله (5) محاسبه می‌شود:

$$f(\xi_0) = \frac{F}{L(\xi_0)} \quad (5)$$

با توجه به فرض توزیع بار یکنواخت، باری که دندانه در هر لحظه از درگیری تحمل می‌کند متناسب با طول خط تماس است. پس بار کل وارد برابر یک دندانه در طول سیکل درگیری اش به صورت رابطه (6) بیان می‌شود

$$F_T = F \times l(\xi_0) = L(\xi_0) \times l(\xi_0) \quad (6)$$

در شکل 3 لحظه‌ای از درگیری یک چرخ‌دنده مارپیچ نمایش داده شده است. از خط تماس مشاهده می‌شود که در این لحظه سه دندانه از چرخ‌دنده درگیری هستند و هر نقطه از خط تماس انحنای متفاوتی دارد. روش متداول برای مدل‌سازی هندسی چرخ‌دنده مارپیچ، تقسیم چرخ‌دنده مارپیچ (با پهنه‌ی b) به تعداد مشخصی (n) چرخ‌دنده ساده است. این کار با برش زدن چرخ‌دنده مارپیچ در راستای محورش در فاصله‌های دیفرانسیلی برابر (db) صورت می‌گیرد. حالا تعداد محدودی چرخ‌دنده ساده با پهنه‌ی دیفرانسیلی حاصل شده است که هر یک نسبت به قبلی به اندازه‌ی زاویه کوچکی دوران کرده است. با این کار طبق رابطه (7) طول خط تماس (dl) بر روی هر چرخ‌دنده ساده



که در آن H_{RI} , H_{EI} , H_{RP} و H_{EP} اعداد بی بعدی هستند، که به صورت رابطه (14) تعریف می‌شوند.

$$\begin{aligned} H_{RI} &= 3M^{-1}, \quad H_{RI} = 2.62M^{-\frac{1}{5}}, \quad H_{RP} = 1.287L^{\frac{2}{3}}, \\ H_{EP} &= 1.311M^{-\frac{1}{8}}L^{\frac{3}{4}}, \quad H_C = h_c' U_{\Sigma}^{-0.5} \\ L &= GU_{\Sigma}^{-0.5}, \quad M = WU_{\Sigma}^{-0.5}, \quad U_{\Sigma} = \frac{\eta_0 u}{E/R}, \quad G = \alpha E' \\ , \quad W &= \frac{F_N}{E' RB}, \quad h_c' = \frac{h_c}{R} \end{aligned} \quad (14)$$

که در آن H_C ضخامت لایه روان‌کاری مرکزی بی بعد، L عدد بی بعد روان‌کار و M عدد بی بعد بار، U_{Σ} عدد بی بعد سرعت، G عدد بی بعد روان‌کار، W عدد بی بعد بار، و α هم ضریب لزجت فشار است [17 و 18].

البته این رابطه بر اساس رژیم روان‌کاری فیلم کامل روغن به دست آمده و اثرات زیری سطح در آن لاحظ نشده است. برای در نظر گرفتن زیری سطح، معادله بالا به شرحی که در برخی مراجع آمده است اصلاح می‌شود [19].

طبق معادله (15) داریم:

$$\begin{aligned} H_C &= \gamma_1^S \left[\left(H_{RI}^{\frac{7}{3}} + \gamma_1^{-\frac{14}{15}} H_{EI}^{\frac{7}{3}} \right)^{\frac{3S}{7}} + \left(H_{RP}^{-\frac{7}{2}} + H_{EP}^{-\frac{7}{2}} \right)^{-\frac{2S}{7}} \right]^{\frac{1}{S}} \\ S &= \frac{1}{5} \left(7 + 8e^{\left(\frac{-2H_{EP}}{H_{RI}} \right)^{\frac{2}{3}}} \right) \end{aligned} \quad (15)$$

بنابراین می‌توان گفت معادله (15) معادله ضخامت فیلم مرکزی روان‌کار رژیم روان‌کاری مخلوط است. اغلب مطالعات انجام‌شده، تغییرشکل تمام زیری‌ها را در رژیم روان‌کاری مخلوط به صورت الاستیک فرض کرده‌اند. این در حالی است که زیری‌های در تماس، بسته به ارتفاع زیری و بار وارد شده به آن‌ها یکی از سه حالت (الاستیک، الاستیک-پلاستیک و پلاستیک کامل) را تجربه می‌کنند. در این مدل فرض می‌شود که شکل تمام زیری‌ها، کروی است و دارای شعاع مساوی β (شعاع متوسط تمام زیری‌ها) هستند. برای هر فاصله معین h_c ، تعداد مشخصی از زیری‌های پروفیل در تماس هستند. عمق تو رفتگی که میزان تخت‌شدگی قله یک زیری w_i توسط صفحه صاف و تخت است، برای زیری آم (z) از پروفیل زیری، به صورت رابطه (16) می‌باشد.

$$w_i = z_i - h_c \quad (16)$$

مقدار منفی w_i به این معناست که زیری آم در تماس قرار نمی‌گیرد. همچنین بر اساس بازه‌های مختلفی از مقدار w_i ، تغییرشکل الاستیک [20]، الاستیک-پلاستیک و پلاستیک [21] به صورت رابطه (17) اتفاق می‌افتد:

$$\begin{aligned} \text{الاستیک} & \quad w_e = \left(0.95 \frac{H}{E} \right)^2 \beta \quad \text{اگر } w_i < w_e \\ \text{الاستیک-پلاستیک} & \quad w_e < w_i < w_p \quad \text{اگر} \\ \text{پلاستیک} & \quad w_p \geq 54w_e \quad \text{اگر } w_i > w_e \end{aligned} \quad (17)$$

برای محاسبه مساحت تماس زیری‌ها و نیرویی که هر یک از زیری‌ها بر اساس تغییر شکل ایجاد شده در آن‌ها تحمل می‌کنند، از روابط (18) که توسط ژائو [22] و آبات و فایرستون [23] ارائه شده، استفاده شده است:

$$\begin{aligned} A_i &= \begin{cases} A_{ie} = 2\pi\beta w_i \\ A_{iep} = \pi\beta w_i (1 - 2w^{-3} + 3w^{-2}) \\ A_{ip} = 2\pi\beta w_i \end{cases} \\ w' &= \frac{w_i - w_e}{w_p - w_e} \\ F_i &= \begin{cases} F_{ie} = \frac{4}{3} E' \beta^{0.5} w_i^{1.5} \\ F_{iep} = \left(H - 0.6H \frac{\ln w_i - \ln w_e}{\ln w_p - \ln w_e} \right) A_{iep} \\ F_{ip} = HA_{ip} \end{cases} \end{aligned} \quad (18)$$

مساحت تماس کلی زیری‌ها بر روی پروفیل زیری A_r از جمع تمام

از بار توسط فیلم روان‌کار و قسمت دیگر توسط زیری‌های در تماس تحمل می‌شود. به همین خاطر در این مدل محاسبه ضخامت فیلم روان‌کار و ضریب اصطکاک چرخ‌دنده، بر اساس ضرایب تقسیم بار جانسون و همکاران [12] انجام خواهد شد (رابطه 8). چنانچه بار وارد ب دو استوانه برابر با F_T باشد. سهم بار تحمل شده توسط فیلم روان‌کار برابر است با F_T/γ_1 و سهم بار تحمل شده توسط زیری‌ها برابر با F_T/γ_2 است [5].

$$F_T = \frac{F_T}{\gamma_1} + \frac{F_T}{\gamma_2} = F_H + F_C, \quad \frac{1}{\gamma_1} + \frac{1}{\gamma_2} = 1 \quad (8)$$

با استفاده از همین تقسیم بار، می‌توان نیروی اصطکاک ایجادشده از تماس چرخ‌دنده مارپیچ را به دو قسمت تقسیم نمود. بخشی ناشی از برش بین لایه‌های فیلم روان‌کار $F_{f,C}$ و بخشی هم ناشی از تماس زیری‌های دو سطح است، بنابراین در رابطه (9) داریم:

$$F_f = F_{f,H} + F_{f,C} \quad (9)$$

برای محاسبه $F_{f,C}$ همان‌طور که در رابطه (10) نشان داده شده است فرض

می‌شود که تمام زیری‌ها دارای ضریب اصطکاک مشابه f_C هستند:

$$F_{f,C} = \sum_{i=1}^N f_c \cdot F_{C_i} = f_c \sum_{i=1}^N F_{C_i} = f_c \times F_C \quad (10)$$

مقدار $F_{f,H}$ به پارامترهای زیادی وابسته است. برای محاسبه ضریب اصطکاک هیدرودینامیک از معادله (11) استفاده می‌شود که بر اساس فرض سیال نیوتونی است. همچنین ضریب اصطکاک نهایی توسط معادله (12) محاسبه می‌شود [5]:

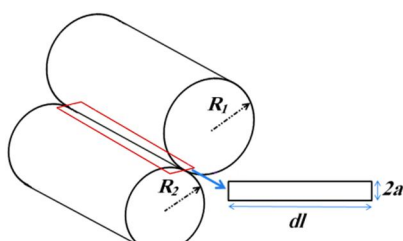
$$F_{f,H} = \frac{u_{sliding}\eta}{h_c} \times A_H \quad (11)$$

$$\mu = \frac{F_f}{F_T} = \frac{f_c F_C + \frac{u_{sliding}\eta}{h_s} \times A_H}{F_T} \quad (12)$$

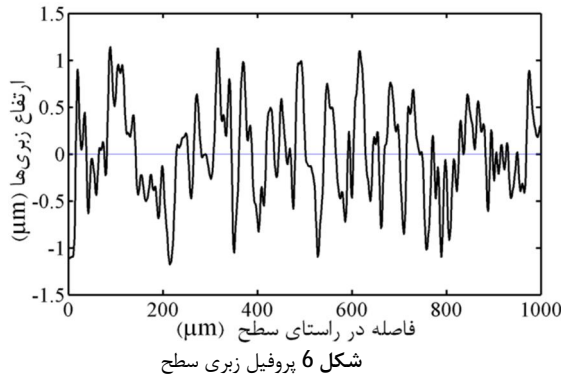
که در آن η لزجت روان‌کار در حین درگیری، A_H سطح تماس فیلم روان‌کار و h_c ضخامت فیلم روان‌کار است. سطح تماس دو استوانه جایگزین برابر است با مجموع سطح تماس زیری‌ها A_C و سطح تماس فیلم روان‌کار A_H . بر اساس 5 تماس هرتزین، فرض شده است که نیم‌عرض تماس هرتزین است. شکل 5 تماس هرتزین دو استوانه را نشان می‌دهد.

ضخامت فیلم روان‌کار از حل همزمان معادله رینولدز، معادله تعادل بار و معادله مربوط به تغییر شکل الاستیک سطح که توسط تیموشنکو و گودر [15] ارائه شده است حاصل می‌شود. با انجام حل عددی برای دستگاه معادلات فوق برای شرایط کاری مختلف، روابط مختلفی برای بیان ضخامت فیلم روغن بر اساس جنس سطوح، جنس روغن، و شرایط کاری ارائه شده است. در این تحقیق، از رابطه برازش شده موز [16] استفاده شده است و طبق رابطه (13) داریم:

$$\begin{aligned} H_C &= \left[\left(H_{RI}^{\frac{7}{3}} + H_{EI}^{\frac{7}{3}} \right)^{\frac{3S}{7}} + \left(H_{RP}^{-\frac{7}{2}} + H_{EP}^{-\frac{7}{2}} \right)^{-\frac{2S}{7}} \right]^{\frac{1}{S}} \\ S &= \frac{1}{5} \left(7 + 8e^{\left(\frac{-2H_{EP}}{H_{RI}} \right)^{\frac{2}{3}}} \right) \end{aligned} \quad (13)$$



شکل 5 سطح تماس هرتزین دو استوانه جایگزین



همان‌طور که در رابطه (25) نشان داده شده است، فشار هیدرودینامیکی هم برابر با نسبت بار تحميل شده توسط فيلم سیال به سطح مقطع سیال در نظر گرفته شده است:

$$P_H = \frac{F_T}{A_H}, \quad A_H = A_{\text{nom}} - A_C \quad (25)$$

برای محاسبه تغییرات دمای روان‌کار در طول درگیری، از رابطه تقریبی ارائه شده توسط میهالیدیس و همکاران [26] برای تخمین تغییرات دما در طول خط عمل چرخ‌دنده ساده استفاده می‌شود که به صورت رابطه (26) بیان می‌شود:

$$\Delta T = W_T^{0.75} \omega_p^{0.5} \left(\frac{50}{50 - \sigma_s} \right) \times \frac{0.0175 \left(\sqrt{R_1} - \sqrt{R_2} \right)}{\left(\cos \theta \right)^{0.75} \left(\frac{R_1 R_2}{R_1 + R_2} \right)} \quad (26)$$

که در آن W_T (lbf/in) بار مماسی بر واحد طول، σ_s (μin) انحراف معیار زیری سطح، R_1 (in) و R_2 (in) شعاع انحنای پینیون چرخ‌دنده و m_G نسبت تبدیل چرخ‌دنده است. با استفاده از این رابطه، دمای کاری روان‌کار را برای هر زوج استوانه جایگزین می‌توان تخمین زد و در نهایت با استفاده از معادله (25) لزجت روان‌کار را محاسبه نمود. همان‌طور که مشاهده می‌شود، در رابطه تقریبی (26) اثر تماس زیری‌ها در افزایش دما وارد نشده است. از آنجایی که این معادله تنها تقریبی از افزایش دمای کلی را فراهم می‌کند، می‌توان از افزایش دمای محلی صرف‌نظر نمود. اساساً این گرمایهای محلی ایجاد شده بر اثر تماس زیری‌ها، موجب تغییر شکل پلاستیک می‌شوند [10].

3- روش حل

برای تحلیل روان‌کاری هر یک از زوج استوانه‌های جایگزین، ترتیب حل معادلات به صورت طرح‌واره در شکل 7 مشاهده می‌شود. بعد از تعیین ورودی‌های لازم برای محاسبه ضخامت فیلم و ضریب اصطکاک، گام اول حدس زدن مقداری برای η_1 است. سپس با داشتن η_1 و معادله (8)، مقدار η_2 و همین‌طور با استفاده از معادله (15)، ضخامت فیلم محاسبه می‌شود. در گام دوم برای محاسبه نیروی زیری‌ها، از دو مسیر (مسیر اول: با استفاده از معادله (8)، مسیر دوم: توسط معادله (23)) استفاده می‌شود. حال دو مقدار F_C به دست آمده است. اگر قدر مطلق اختلاف این دو مقدار از تolerans تعريف شده کمتر باشد، فرض اولیه‌ی η_1 صحیح بوده و اگر با هم اختلاف داشته باشند (بیشتر از یکصدم درصد)، می‌باشد مقدار فرضی η_1 را تغییر داد. در پایان توسط معادله (12) مقدار ضریب اصطکاک محاسبه می‌شود.

4- بحث و نتیجه‌گیری

برای حل عددی مسئله، نیاز است پارامترهایی مانند مشخصات هندسی

مؤلفه‌های جزئی مساحت تماس محاسبه می‌شود. برای محاسبه سطح تماس زیری‌های دو استوانه، A_C می‌باشد A_T را در یک عدد x ضرب نمود. چرا که این مقدار تنها مربوط به پهنای از سطح تماس است که پروفیل زیری آن در اختیار است. از آنجایی که پروفیل زیری سطح همسان‌گرد فرض شده است، در تمام پهنای هرتزین و طول سطح تماس همین توزیع زیری وجود خواهد داشت. مقدار x از نسبت تعداد کل قله‌های موجود در پهنای هرتز به تعداد قله‌های موجود در پروفیل زیری حاصل می‌شود. در رابطه (19) داریم:

$$x = \frac{\text{تعداد کل قله‌ها}}{\text{تعداد قله‌های پروفیل}} \quad (19)$$

همچنین برای تعیین تعداد قله‌ها به صورت رابطه (20) عمل می‌شود:

$$(20) \quad n \times A_{\text{nom}}, \quad A_{\text{nom}} = 2a \times dl$$

که n چگالی زیری‌ها است و Q ، a و dl ، جزئی از پروفیل زیری است که ارتفاعی بزرگ‌تر از جزء زیری قبلی و بعدی اش در طول پروفیل زیری دارد. بنابراین همان‌طور که در روابط (21) و (22) نشان داده شده است مساحت تماس زیری‌ها برابر است با:

$$A_C = x \times A_T = x \times \sum_{i=1}^n A_i (w_i) \quad (21)$$

$$F_C = x \times \sum_{i=1}^n F_i (w_i) \quad (22)$$

در مدل حاضر، از پروفیل زیری شکل 6 استفاده می‌شود. این طیف ثبت شده، از اندازه‌گیری پروفیل زیری سطح چرخ‌دنده در طول یک میلی‌متر به دست آمده است. از آنجایی که سطح همسان‌گرد در نظر گرفته شد، توزیع زیری کل سطح چرخ‌دنده مطابق همین قسم است. مشخصات زیری این پروفیل زیری بر اساس روابط موجود در [5] در جدول 1 آورده شده است. ضخامت فیلم سیال پیش‌بینی شده در معادله (16) بر پایه دمای ورودی است. دمای روان‌کار تأثیر قابل توجهی در تحلیل چرخ‌دنده‌ها دارد. به منظور تصحیح این ضخامت فیلم، از ضریب اصلاح دمایی ارائه شده توسط سو و لبی [24] استفاده شده است. طبق رابطه (23) داریم:

$$C_t = \frac{h_{t\text{thermal}}}{h_{i\text{sothrmal}}} = \frac{1}{1 + 0.0766 G^{0.687} L^{0.447} Z^{0.527} e^{0.875 r}} \quad (23)$$

$$L = \frac{\eta_0 \gamma u}{K_f}, \quad sr = \frac{u_{\text{sliding}}}{u}$$

که لزجت در فشار محیط و γ ، ضریب لزجت دمایی هستند. مقادیر u و K_f هم به ترتیب سرعت غلتشی و ضریب هدایت گرمایی روان‌کار هستند. برای وارد کرن تأثیر دما و فشار بر لزجت روان‌کار، از معادله رولندز و همکاران استفاده می‌شود [25]. در رابطه (24) داریم:

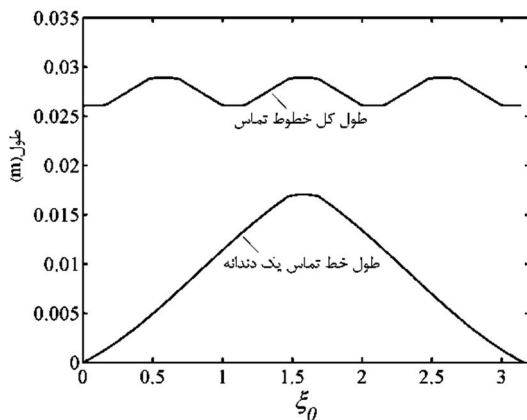
$$\eta = \eta_0 \exp \{ (\ln \eta_0 + 9.67) \times [-1 + V] \} \quad (24)$$

$$V = (1 + 5.1 \times 10^{-9} P_H)^{Z_p} \times \left[\frac{T - 138}{T_0 - 138} \right]^{-1.1}$$

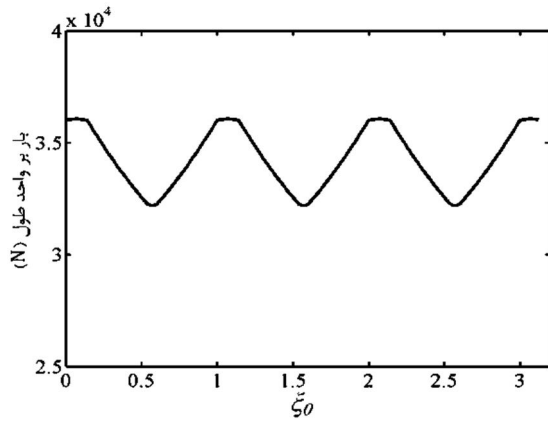
در این رابطه، V لزجت روان‌کار در دما و فشار کاری است. T_0 دمای ورودی، T دمای کاری، P_H فشار هیدرودینامیکی و Z_p شاخص لزجت فشاری است.

جدول 1 مشخصات زیری سطح

تعريف	مشخصه	مقدار	واحد
انحراف استاندارد زیری‌ها	σ_s	μm	
متوسط شعاع نوک زیری‌ها	B	μm	
چگالی زیری	N	$1/\text{mm}^2$	
ضریب اصطکاک زیری‌ها	f_c	-	



شکل 8 تغییر طول خط تماس برای یک دندانه و مجموع دندانه‌های درگیر

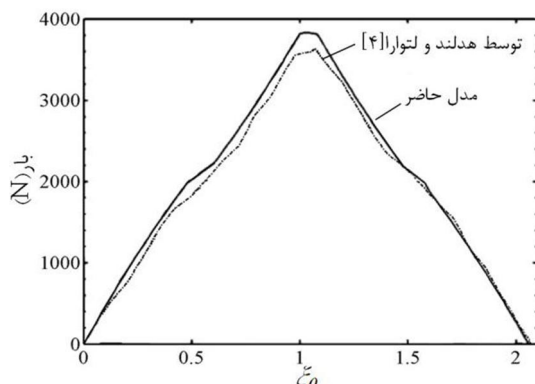


شکل 9 بار وارد بر دندانه در طول سیکل درگیری اش

برای چرخ‌دنده‌های جدول 2 به 160 قسمت تقسیم شده است. همان‌طور که مشاهده می‌شود، تطابق زیادی بین پاسخ مدل حاضر و هدلند برای بار واردشده بر دندانه در طول درگیری اش دیده می‌شود.

در شکل 11 تغییرات شعاع انحنای معادل R_1 و R_2 و همین‌طور شعاع انحنای معادل R در طول این خط تماس دندانه نمایش داده شده است. برای انجام تحلیل هندسی و همچنین در تحلیل روان‌کاری چرخ‌دنده مارپیچ، به محاسبه شعاع انحنا احتیاج است. در شکل 12 تغییرات سرعت لغزشی و غلتی برای نقاط تماس بر روی خط تماس یک دندانه مشاهده می‌شود.

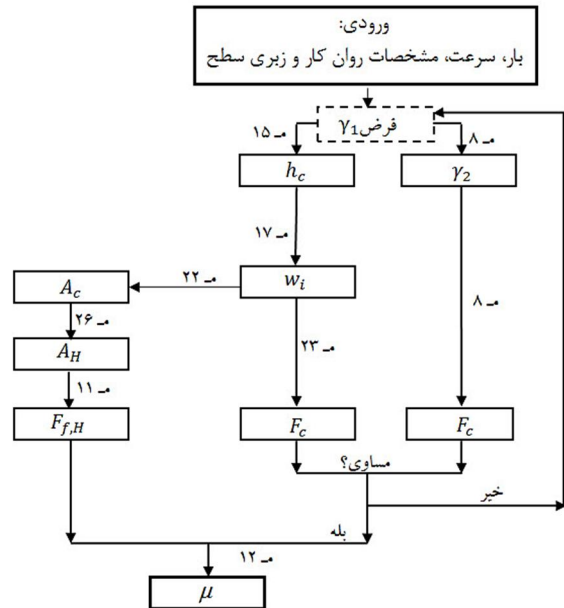
در قسمت‌های قبل توزیع بار، شعاع انحنا و سرعت نقاط تماس برای 160 نقطه در طول این خط تماس محاسبه شدند. بنابراین می‌بایست مدل روان‌کاری برای 160 زوج استوانه در تماس پیاده‌سازی شود. با پیاده‌سازی



شکل 10 بار وارد بر واحد طول در سیکل درگیری دندانه

چرخ‌دنده، شرایط کاری و مشخصات روان‌کار مشخص باشد که در جدول‌های 2 و 3 آورده شده‌اند.

ابتدا طول خط تماس و بار منتقل شده توسط هر دندانه بر اساس ورودی‌های کروز و همکاران [11] که در جدول 2 آمده است، محاسبه می‌شود. در شکل 8 تغییر طول خط تماس یک دندانه در طول سیکل درگیری اش و همچنین تغییر طول خطوط تماس چرخ‌دنده در طول سیکل درگیری یک دندانه نشان داده شده است. بار اعمال شده بر واحد طول در شکل 9 مشاهده می‌شود. در شکل 10 بار وارد بر یک دندانه در طول سیکل درگیری که توسط هدلند و لتوارا در سال 2007 ارائه شده بود [4]. آورده شده است. روش هدلند بر اساس تحلیل المان محدود سه بعدی بر روی تغییر‌شکل دندانه بوده است. در مقاله حاضر، خط تماس کامل (خط تماس وسط در شکل 3



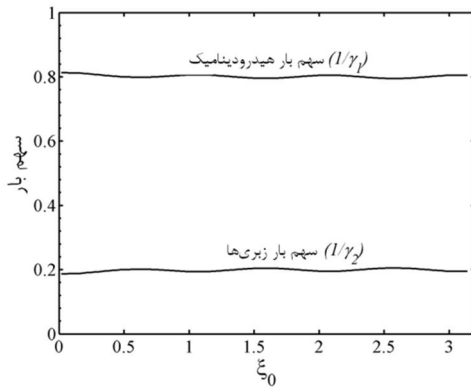
شکل 7 طرح‌واره محاسبه ضریب اصطکاک با روش تقسیم بار جانسون

جدول 2 مشخصات هندسی چرخ‌دنده

تعداد دندانه	مشخصه کروز [11]	واحد	تعریف
40/43	Z_p/Z_g	-	
2/2	m_n	mm	مدول نرمال
31	ψ	deg	زاویه مارپیچ
18	ϕ_n	deg	زاویه فشار نرمال
17	B	mm	پهنه‌ی چرخ‌دنده
1650N	F	N.m	گشتاور (یا نیرو) کلی
800	ω	rpm	سرعت زاویه‌ی پینیون
209	E	GPa	مدول الاستیک

جدول 3 مشخصات روان‌کار مورد استفاده [11]

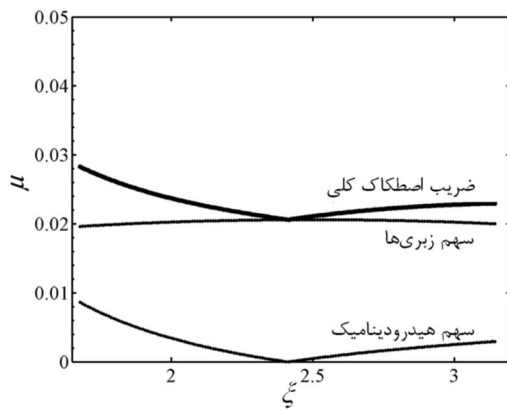
تعریف	مشخصه	واحد	75W-90BO
لرجت دینامیکی در 20°C	η_0	Pa.s	0/0115
ضریب لرجت فشار	α_{EHL}	1/Pa	0/12
ضریب لرجت دما	γ	1/K	0/04
شاخص لرجت فشاری	Z_p	-	0/6
هدایت گرمایی	K_f	W/m/K	0/145



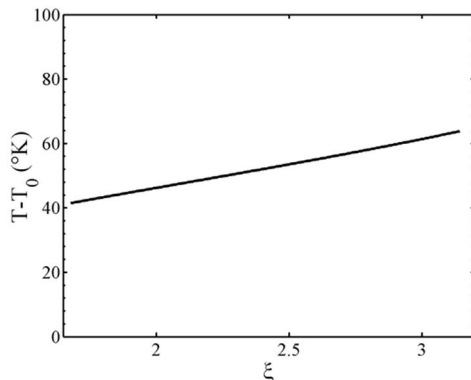
شکل 14 سهم بار تحمل شده بین روان‌کار و زبری‌ها در طول سیکل درگیری

شکل 15 و شکل 16 به ترتیب آورده شده است. همان‌طور که در شکل 15 مشاهده می‌شود، سهم اصلی اصطکاک ایجاد شده، ناشی از تماس زبری‌ها است. با توجه به اینکه اصطکاک زبری‌ها به‌طور مستقیم وابسته به بار تحمل شده توسط زبری‌ها است، تغییر زیادی در طول خط تماس ندارد. اما اصطکاک ناشی از فیلم روان‌کار با توجه به معادله 11 تحت تأثیر سرعت لغزشی، ضخامت فیلم و دمای کاری قرار دارد. نحوه تغییرات ضریب اصطکاک مشابه با تغییرات سرعت لغزشی مشاهده می‌شود که می‌توان اثر قابل توجه سرعت لغزشی را بر روی ضریب اصطکاک نتیجه گرفت. با افزایش دمای کاری در طول خط تماس (شکل 17)، با توجه به معادله (24) لزجت روان‌کار کاهش یافته و در نتیجه ضریب اصطکاک ناشی از فیلم روان‌کار کاهش می‌یابد.

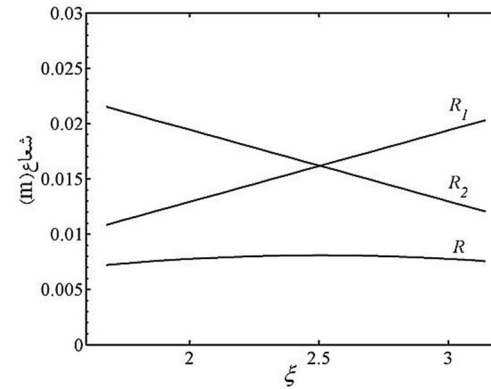
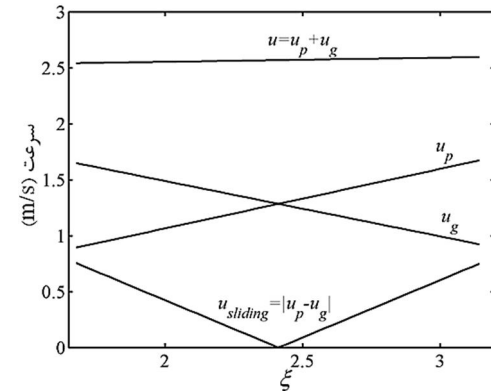
در شکل 17 ضخامت متوسط فیلم روان‌کار پیش‌بینی شده توسط معادله اصلاح شده گروین [27] و تحلیل گذایی کروز و همکاران ارائه شده است [11].



شکل 15 ضریب اصطکاک در طول خط تماس کامل

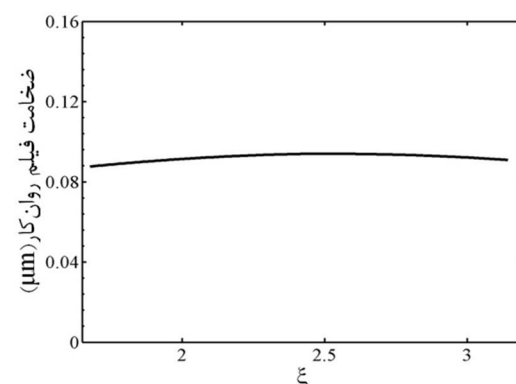


شکل 16 میزان افزایش دمای روان‌کار در طول خط تماس کامل

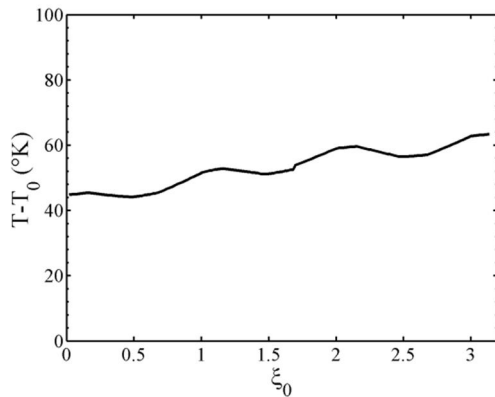
شکل 11 تغییر شعاع استوانه جایگزین روی اینولوت (در طول خط تماس کامل) پینیون، R_1 چرخ‌دنده و R شعاع انتخابی معادل

شکل 12 تغییرات سرعت لغزشی و غلتشی در طول خط کامل تماس یک دندانه

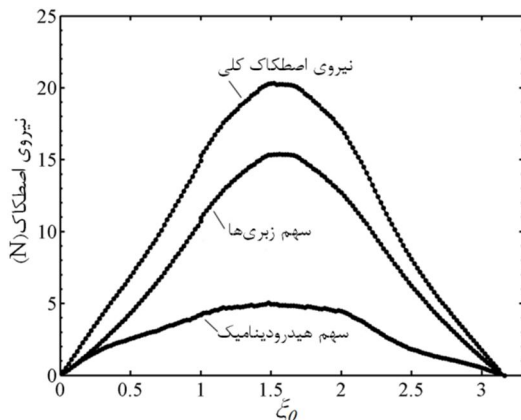
مدل معروفی شده، ضخامت فیلم روان‌کار مطابق شکل 13 به دست می‌آید. همان‌طور که مشاهده می‌شود، لایه نازکی از روان‌کار بر روی سطح چرخ‌دنده قرار می‌گیرد. در نتیجه سهم قابل توجهی از زبری‌ها در تماس قرار می‌گیرند. همان‌طور که گفته شد، بار اصلی توسط فیلم روان‌کار تحمل می‌شود که این مسئله را می‌توان در شکل 14 مشاهده نمود. در این لحظه از درگیری، به‌طور تقریبی، ۸۰٪ بار واردشده بر دندانه توسط فیلم روان‌کار تحمل می‌شود. سهم بار تحمل شده توسط زبری‌ها و فیلم روان‌کار در هر لحظه از سیکل درگیری دندانه را می‌توان در شکل 14 مشاهده نمود. مشاهده می‌شود که همواره بار اصلی توسط فیلم روان‌کار تحمل می‌شود. بتایران می‌توان مطمئن شد که استفاده از نتایج تحقیق جانسون و همکارانش بدون مشکل بوده است. همچنین مقدار ضریب اصطکاک و تغییرات دما در طول خط تماس در شکل



شکل 13 ضخامت فیلم روان‌کار در طول خط تماس کامل



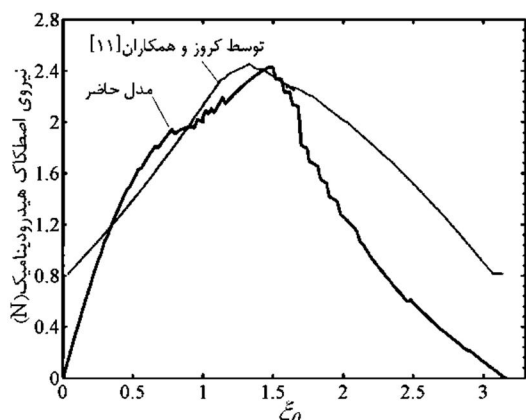
شکل 19 میزان افزایش دمای روانکار نسبت به دمای ورودی



شکل 20 نیروی اصطکاک یک دندانه در هر لحظه از سیکل درگیری اش

[11] آورده شده است. با توجه به اینکه دندانه در لحظه ورود به درگیری و خروج از درگیری، باری را متحمل نمی‌شود، مقدار نیروی اصطکاک دندانه در ابتداء و آغاز درگیری برابر صفر است.

همان‌طور که بیان شد، در مدل حاضر زبری‌های تغییر شکل یافته به سه دسته‌استیک، الاستیک-پلاستیک و پلاستیک تقسیم می‌شوند. اگر تمام تغییرشکل‌های زبری‌ها به صورت الاستیک فرض شود، نیروی اصطکاک دندانه به صورت شکل 22 محاسبه می‌شود. با توجه به اختلاف زیاد مقادیر نیروی اصطکاک در دو شکل 20 و 22 می‌توان نشان داد که چنانچه همه تغییرشکل زبری‌ها الاستیک فرض شود، خطای زیادی در محاسبات ایجاد می‌شود.



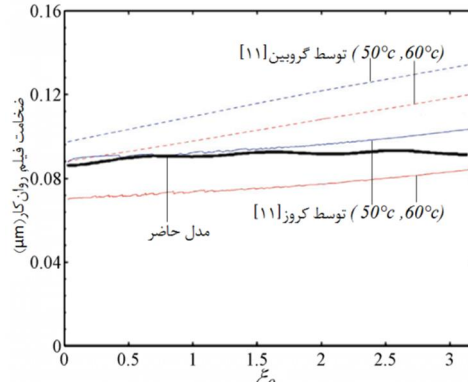
شکل 21 نیروی اصطکاک ناشی از فیلم روان‌کار یک دندانه در هر لحظه از سیکل درگیری اش

حل گروین را می‌توان به عنوان تقریب اولیه قابل قبولی در نظر گرفت (با وجود اختلافی بین 20% تا 30%) که به میزان قابل توجه در زمان محاسبات می‌کاهد. زمان حل گروین در حدود چند ثانیه است و این در حالی است که حل گذرای دقیق ارائه شده توسط گروز و همکاران بیش از چند ساعت زمان CPU را نیاز دارد [11]. همان‌طور که در این شکل مشاهده می‌شود، ضخامت فیلم محاسبه شده توسط گروز و همکاران برای دمای 50 °C نزدیک است به اینکه میزان تغییرات دما در طول سیکل درگیری دندانه، در مطالعه پیش‌رو ثابت فرض نشده است، مقداری تفاوت در قسمت پایانی درگیری مشاهده می‌شود این نتیجه دقیق در حالی حاصل شده است که مدت زمان لازم برای پردازش CPU در این روش کمتر از چند دقیقه می‌باشد.

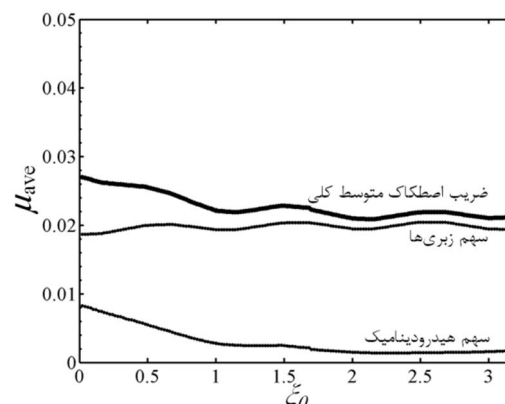
تغییرات ضریب اصطکاک متوسط و افزایش دمای کاری متوسط در هر لحظه از سیکل درگیری یک دندانه مطابق شکل 18 و 19 شده است. مشاهده می‌شود که در طول سیکل درگیری، دمای کاری افزایش می‌یابد که این افزایش با توجه به رابطه (26) و جایه‌جایی خط تماس روی سطح دندانه اتفاق می‌افتد. افزایش دما در طول سیکل درگیری، باعث کاهش مقدار لزجت روان‌کار می‌شود. بنابراین با توجه به معادله (11)، ضریب اصطکاک هیدرودینامیک کاهش می‌یابد.

در شکل 20 نیروی اصطکاک دندانه در طول سیکل درگیری اش به تفکیک سهم زبری‌های در تماس و سهم روانکار رسم شده است. همچنین مجموع این دو جزء که در واقع نیروی اصطکاک کلی دندانه است هم مشاهده می‌شود.

همچنین در شکل 21، نیروی اصطکاک ناشی از فیلم روان‌کار به طور جداگانه برای مقایسه با نتیجه ارائه شده توسط تحلیل گذرای گروز و همکاران

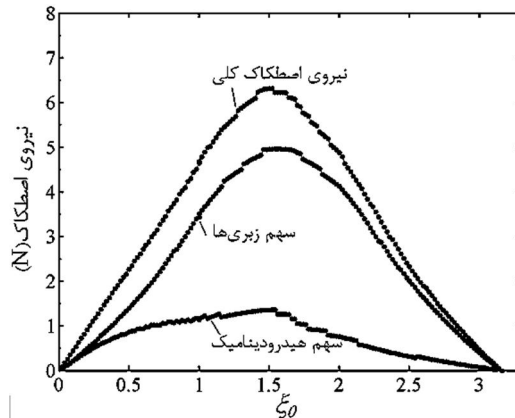


شکل 17 ضخامت فیلم روانکار متوسط در هر لحظه از سیکل درگیری یک دندانه



شکل 18 ضریب اصطکاک متوسط دندانه در طول سیکل درگیری

شعاع استوانه‌های جایگزین نقاط تماس پینیون و چرخدنده	$R_{1,2}$
(m)	r_a
شعاع دایره مبنای پینیون (m)	r_b
شعاع نقطه تماس ۲ بر روی دندانه (m)	r_c
دما روان‌کار در حین کار (K)	T
دما وردی روان‌کار (K)	T_0
سرعت غلتشی	U
سرعت لغزشی	$U_{sliding}$
ارتفاع زبری آم بر روی پروفیل زبری (μm)	Z_t
علام یونانی	
نسبت تماس عرضی	ε_α
نسبت تماس محوری	ε_β
نسبت تماس کلی	ε_γ
زاویه مارپیچ مبنا (rad)	ψ
شعاع انحنای نقطه تماس بر روی اینولوت (m)	ρ
موقعیت نقطه تماس بر روی خط تماس دندانه	ξ
موقعیت درگیری پینیون و چرخدنده در طول سیکل درگیری‌شان	ξ_0
ضریب اصطکاک	μ
لزجت روان‌کار در حین کار (Pa. s)	η
لزجت روان‌کار ورودی (Pa. s)	η_0
زبرنویس‌ها	
مقدار متوسط	ave



شکل 22 نیروی اصطکاک یک دندانه با فرض تغییرشکل الاستیک برای همه زبری‌های در تماس

5- جمع‌بندی

در این پژوهش، تحلیل روان‌کاری چرخدنده مارپیچ به کمک روش تقسیم بار با لحاظ کردن تغییر شکل‌های زبری ارائه شد. بر این اساس، باز اعمال شده به چرخدنده توسط فیلم روان‌کار و زبری سطح تحمل می‌گردد و باری که هر زبری منتقل می‌نماید باعث ایجاد تغییر شکل الاستیک، الاستیپلاستیک و پلاستیک می‌شود. مزایای استفاده از روش تقسیم بار، کوتاه شدن زمان انجام محاسبات و همچنین قابلیت اعمال اثرات زبری سطح و همچنین اثرات دمایی است. مقایسه نتایج پیش‌بینی شده مربوط به ضخامت لایه روغن تشکیل شده بین دندانه‌ها و همچنین ضریب اصطکاک بین دندانه‌ها با نتایج سایر مقالات، نشان‌دهنده دقت نسبتاً مناسب این روش است.

7- مراجع

- [1] F. Reuleaux, Friction in Tooth Gearing, *Transactions of the ASME*, Vol. VIII, No. 9, pp. 45-85, 1886.
- [2] D. J. Haines, E. Ollerton, Contact stress distributions on elliptical contact surfaces subjected to radial and tangential forces, *Proceedings of Institute of Mechanical Engineering*, Vol. 177, No. 1, pp. 95-114, 1963.
- [3] J. J. Kalker, Three-dimensional Elastic Bodies in Rolling Contact, *Kluwer Academic Publishing, Dordrecht*, 1990.
- [4] J. Hedlund, A. Lehtovaara, Modeling of helical gear contact with tooth deflection, *Tribology International*, vol. 40, No. 1, pp. 613-619, 2007.
- [5] S. Akbarzadeh, M. M. Khonsari, Performance of spur gears considering surface roughness and shear thinning lubricant, *ASME Journal of Tribology*, vol. 130, No. 2, pp. 21503, 2008.
- [6] F. Hirano, T. Ueno, S. Asanabe, Effect of Angle Between Direction of Sliding and Line of Contact on Friction and Wear of a Roller, *Lubrication Engineering*, vol. 64, No. 1, pp. 57-64, 1964.
- [7] P. Heingartner, D. Mba, Determining Power Losses in The Helical Gear Mesh; Case Study, *DETC'3, Chicago, Illinois*, 2003.
- [8] D. Dowson, G. R. Higginson, A Theory of Involute Gear Lubrication, Proceeding of a Symposium Organized by the Mechanical Tests of Lubricants Panel of the Institute, *Institute of Petroleum, Gear Lubrication, Elsevier, London*, Vol. 182, No. 1, pp. 8-15, 1964.
- [9] B. W. Kelley, A. J. Lemanski, Lubrication of Involute Gearing, *Proceedings of Institute of Mechanical Engineering*, Vol. 182, No. 32, pp. 173-184, 1967-1968.
- [10] A. Flodin, S. Anderson, Simulation of mild wear in helical gears, *Wear*, vol. 241, No. 2, pp. 123-128, 2000.
- [11] M. Cruz, W. W. F. Chong, M. Teodorescu, S. Theodosiades, H. Rahnejat, Transient mixed thermo-elastohydrodynamic lubrication in multi-speed transmissions, *Tribology International*, vol. 49, No. 1, pp. 17-29, 2012.
- [12] K. L. Johnson, J. A. Greenwood, S. Y. Poon, A Simple Theory of Asperity Contact in Elastohydrodynamic Lubrication, *Wear*, vol. 19, No. 1, pp. 91-108, 1972.
- [13] J. I. Pedrero, M. Pleguezuelos, M. Artés, J. A. Antona, Load distribution model along the line of contact for involute external gears, *Mechanism and Machine Theory*, vol. 45, No. 5, pp. 780-794, 2010.
- [14] J. A. Greenwood, J. H. Tripp, The contact of two nominal flat rough surfaces, *Proceedings of Institution of Mechanical Engineering*, vol. 185, No. 1, pp. 625-633, 1970.
- [15] S. P. Timoshenko, J. N. Goodier, *Theory of elasticity*, McGraw-Hill, 1982.

6- فهرست علام

سطح تماس زبری‌ها (m^2)	A_c
سطح روان‌کار (m^2)	A_H
سطح تماس نامی دو استوانه (m^2)	A_{nom}
سطح تماس زبری آم (m^2)	A_i
مدول الاستیسیته معادل (N/m^2)	E_{eq}
بخش صحیح نسبت تماس	E_γ
نیروی تحمل شده توسط زبری‌ها (N)	F_c
نیروی تحمل شده توسط زبری آم (N)	F_i
نیروی تحمل شده توسط فیلم روان‌کار (N)	F_H
نیروی تحمل شده توسط دندانه (N)	F_T
نیروی اصطکاک (N)	F_f
نیروی اصطکاک ناشی از تماس زبری‌ها (N)	$F_{f,c}$
نیروی اصطکاک ناشی از روان‌کار (N)	$F_{f,H}$
نیرو بر واحد طول خط تماس (N/m)	$f(\xi_0)$
ضخامت بی‌بعد فیلم روان‌کار (m)	H_c
ضخامت فیلم روان‌کار (m)	h_c
تابع انتگرال انرژی پتانسیل معکوس چرخدنده	I_v
مجموع طول خطوط تماس چرخدنده (m)	$L(\xi_0)$
طول خط تماس دندانه (m)	$I(\xi_0)$
فشار وارد بر فیلم روان‌کار (N/m^2)	P_H
شعاع انحنای معادل دو استوانه جایگزین (m)	R

- [23] E. J. Abbott, F. A. Firestone, Specific surface quality a method based on accurate measurement and comparison, *Mechanical Engineering*, Vol. 55, No. 2, pp. 569-572, 1933.
- [24] C. H. Hsu, R. T. Lee, An efficient algorithm for thermal elastohydrodynamic lubrication under rolling/sliding line contacts, *ASME Journal of Tribology*, Vol. 116, No. 4, pp. 762-769, 1994.
- [25] C. J. A. Roelands, J. C. Vlugter, H. I. Waterman, The viscosity/temperature-pressure relationship of lubricating oils and its correlation with chemical constitution, *ASME Journal of Basic Engineering*, vol. 85, No. 4, pp. 601- 610, 1962.
- [26] A. Mihailidis, V. Bakolas, Numerical simulation of real 3-D rough surfaces, *Journal of Balkan Tribology Association*, vol. 5 No. 1., pp. 247-255, 1999.
- [27] A.N. Grubin, Contact stresses in toothed gears and worm gears, *Book 30 CSRI for Technology and Mechanical Engineering*, Moscow DSRI Trans, pp. 337, 1949.
- [16] H. Moes, Lubrication and Beyond , lecture notes 115531, *University of Twente, Enschede, The Netherlands*, 1997.
- [17] H. Moes, Optimum similarity analysis with applications to elastohydrodynamic lubrication, *Wear*, vol. 159, No. 2, pp 57-66, 1992.
- [18] D. Dowson, G. R. Higginson, Elasto-hydrodynamic lubrication The fundamentals of roller and gear lubrication, *Pergamon Press*, Oxford, 1966.
- [19] E. R. M. Gelinck, D. J. Schipper, Calculation of Stribeck Curves for Line Contacts, *Tribology International*, Vol. 33, No. 3, pp. 175-18, 2000.
- [20] J. A. Greenwood, J. B. P. Williamson, Contact of nominally flat surfaces, *Proceedings of Royal Society of London Serie A*, Vol. 295, No. 1442, pp. 300-319, 1966.
- [21] K. L. Johnson, Contact Mechanics, *Cambridge University Press*, Cambridge, UK, 1985.
- [22] Y. Zhao, D. M. Maietta, L. Chang, An asperity microcontact model incorporating the transition from elastic deformation to fully plastic flow, *ASME Journal of Tribology*, vol. 122, No. 1, pp. 86-93, 2000.